

بِسْمِ اللّٰهِ الرَّحْمٰنِ الرَّحِيْمِ



دانشکده مهندسی برق

## طراحی و ساخت کنترل کننده هوشمند شارژ باتری های لیتیوم-یون با استفاده از تخمین حالت شارژ

محمد چرخگرد

پایان نامه کارشناسی ارشد  
مهندسی برق-کنترل

استاد راهنما  
دکتر محمد فرخی

آسفند ۸۴

تقدیم به پدر و مادر مهربانم که همواره راهنمای مشوق  
دلسوزی برایم بوده‌اند.

و همچنین تقدیم به شهیدان و جانبازان که از  
خودگذشتگی‌شان در راه وطن جاودانه در قلبمان می‌ماند.

## چکیده:

در این پژوهه از الگوریتمهای هوشمند نظری شبکه‌های عصبی برای مدل‌سازی، فیلتر کالم‌من توسعه یافته برای تخمین حالت شارژ و نیز منطق فازی برای کنترل حالت شارژ باتری در محدوده مشخص استفاده می‌گردد، که در این صورت علاوه بر شارژ سریع با تری از فراشارژ شدن آن و درنتیجه صدمه زدن به باتری جلوگیری می‌گردد. گفتنی است که الگوریتمهای مورد استفاده نسبت به تغییر پارامترهای باتری مقاوم‌اند و لذا در تمام مدت کارکرد باتری تخمین خوب و کنترل مناسبی را انجام می‌دهند.

برای پیاده‌سازی، ابتدا مدار واسطی طراحی شد که بتواند داده‌های موردنظر را با نرخ مطلوب نمونه‌برداری کند و از طریق درگاه پیاپی به رایانه بفرستد و نیز سیگنال کنترلی را که کنترل‌کننده فازی درون رایانه تولید می‌کند از همان درگاه دریافت و محقق نماید و به راهانداز شارژ باتری اعمال کند.

نرم‌افزار به کار رفته برای پیاده‌سازی الگوریتمهای تخمین، کنترل فازی و نیز ارتباط با سخت‌افزار با استفاده از زبان برنامه‌نویسی Visual C++ نوشته شده است. تمام آزمایشات عملی بر روی باتری لیتیوم-یون با ظرفیت نامی ۱/۵ آمپرساعت و ولتاژ نامی ۳/۷ ولت و شرایط دمایی آزمایشگاه انجام یافته است. دلیل استفاده از باتری لیتیوم-یون آن است که باتری مذکور یکی از متداول‌ترین باتری‌ها در کاربردهای صنعتی، مانند: خودروهای الکتریکی ترکیبی، نیروگاه‌های خورشیدی، زیردریایی‌ها و ماهواره‌ها است.

نتایج عملی به دست آمده با استفاده از کنترل‌کننده هوشمند طراحی شده، با شارژ‌کننده تجاری موجود در بازار نیز مقایسه شده است و نتایج به دست آمده نشان می‌دهد که کنترل‌کننده هوشمند در مقایسه با شارژ‌کننده تجاری دارای سرعت شارژ بالا همراه با حفظ حالت شارژ مطلوب است.

در اینجا بر خود لازم می‌دانم که از استاد راهنمایم جناب آقای دکتر محمد فرخی و استاد مشاورم جناب آقای دکتر جواد پشتان تشکر و قدردانی نمایم. به ویژه از آقای دکتر فرخی سپاسگزارم که همچون پدری دلسوز، راه تحقیق و پژوهش را به من آموخت و با سعه صدر، بنده را در تمام مراحل انجام پروژه یاری رساند.

همچنین از جناب آقای دکتر وحید جوهری مجده، دانشیار دانشگاه تربیت مدرس که قبول زحمت داوری پایان‌نامه بنده را پذیرفتند و با طرح پرسش‌های آموزنده خود، جلسه دفاع را پربارتر نمودند، قدردانی می‌نمایم. نیز از جناب آقای دکتر علی‌اکبر جلالی دانشیار دانشگاه علم و صنعت ایران به خاطر قبول زحمت داوری پایان‌نامه بنده تشکر می‌نمایم.

## فهرست مطالب

### صفحه

|    |  |
|----|--|
| ۱  | فصل اول: مقدمه.....  |
| ۲  | ۱-۱ مقدمه:.....  |
| ۳  | ۲-۱ مفهوم حالت شارژ.....   |
| ۴  | ۳-۱ بررسی روشهای تخمین حالت شارژ باتری.....                          |
| ۴  | ۴-۱-۳-۱ اندازهگیری حالت شارژ از طریق ویژگیهای فیزیکی الکتروولیت..... |
| ۵  | ۵-۲-۳-۱ ولتاژ مدار باز.....  |
| ۶  | ۶-۳-۱ شمارش آمپر ساعت.....   |
| ۷  | ۷-۳-۱ تخمین با استفاده از منطق فازی.....                             |
| ۸  | ۸-۳-۱ شبکه های عصبی مصنوعی.....                                      |
| ۸  | ۸-۳-۱ تخمین با استفاده از فیلتر کالمن.....                           |
| ۹  | ۹-۴ کنترل حالت شارژ.....   |
| ۱۰ | ۱۰-۵ روش پیشنهادی برای پیادهسازی.....                                |
| ۱۲ | فصل دوم: پیادهسازی و ملاحظات عملی.....                               |
| ۱۳ | ۱-۲ مقدمه.....   |
| ۱۴ | ۲-۱ طراحی بخش نمونهبردار و ارتباط با رایانه.....                     |
| ۱۵ | ۲-۲-۱ طراحی مدارهای ورقدهنده سیگنال با نمونهبردار(A/D).....          |
| ۱۷ | ۲-۲-۲ طراحی مدار نمونهبردار و ارتباطدهنده با رایانه.....             |
| ۱۸ | ۳-۲-۲ طراحی الگوریتم برنامه ریزکنترلکننده 89C52.....                 |
| ۲۱ | ۳-۲-۳ طراحی مدار شارژکننده باتری و راهانداز.....                     |
| ۲۲ | ۱-۳-۲ طراحی منبع جریان شارژ همراه با راهانداز.....                   |
| ۲۴ | ۲-۳-۲ طراحی مدار کنترل ولتاژ.....                                    |
| ۲۶ | ۴-۲ طراحی نرمافزار با استفاده از زبان VISUAL C++.....                |
| ۲۶ | ۱-۴-۲ برنامهنویسی شیءگرا.....  |
| ۲۷ | ۲-۴-۲ کلاسهای مورد استفاده در این پروژه.....                         |
| ۲۸ | فصل سوم: مدلسازی.....  |
| ۲۹ | ۱-۳ مقدمه.....   |
| ۲۹ | ۲-۳ شبکههای عصبی با تابع پایه شعاعی.....                             |
| ۳۱ | ۳-۳ حالت شارژ باتری به عنوان متغیر فضای حالت.....                    |
| ۳۱ | ۴-۳ مدل پیشنهادی.....  |

|  |           |
|--|-----------|
| <b>فصل چهارم: تخمین</b>                        | <b>۳۴</b> |
| ۱- مقدمه                                       | ۳۵        |
| ۲- خطی سازی مدل پیشنهادی                       | ۳۷        |
| ۳- تخمین حالت شارژ باتری                       | ۳۹        |
| ۴- طراحی فیلتر پایین گذر                       | ۴۳        |
| <b>فصل پنجم: کنترل حالت شارژ</b>               | <b>۴۸</b> |
| ۱- مقدمه                                       | ۴۹        |
| ۲- کنترل کننده نخست حالت شارژ باتری            | ۴۹        |
| ۳-۱ تعیین پایگاه قواعد فازی و توابع عضویت      | ۴۹        |
| ۳-۲ نتایج عملی                                 | ۵۲        |
| ۳-۳ کنترل کننده دوم حالت شارژ باتری            | ۶۱        |
| ۳-۴ تعیین پایگاه قواعد فازی و توابع عضویت جدید | ۶۱        |
| ۳-۵ نتایج عملی                                 | ۶۳        |
| ۴- مقایسه با یک شارژ کننده معمولی              | ۶۶        |
| <b>فصل ششم: نتیجه گیری و پیشنهادات</b>         | <b>۷۳</b> |
| ۱- خلاصه انجام طرح                             | ۷۴        |
| ۲- ویژگیها                                     | ۷۵        |
| ۳- معایب                                       | ۷۶        |
| ۴- پیشنهادات                                   | ۷۶        |
| <b>ضمیمه</b>                                   | <b>۷۸</b> |
| الف: فیلتر کالمن                               | ۷۹        |
| الف-۱ فیلتر کالمن خطی                          | ۷۹        |
| الف-۲ فیلتر کالمن توسعه یافته                  | ۸۲        |
| ب: ساختار سیستمهای فازی                        | ۸۶        |
| ب-۱ متغیرهای زبانی                             | ۸۶        |
| ب-۲ توابع عضویت                                | ۸۷        |
| ب-۳ ایجاد پایگاه قواعد فازی                    | ۸۷        |
| ب-۴ روش‌های فازی‌زدایی                         | ۸۹        |
| <b>مراجع</b>                                   | <b>۹۱</b> |

## فهرست شکلها

### صفحه

|          |   |
|----------|---|
| ..... ۴  | شکل ۱-۱: تفسیر تصویری از ظرفیت و حالت شارژ باتری.   |
| ..... ۱۴ | شکل ۲-۱: ساختار کلی مدار طراحی شده.   |
| ..... ۱۶ | شکل ۲-۲: مدار وفقدهی خروجی حسگرها با نمونهبردار.  |
| ..... ۱۸ | شکل ۲-۳: ساختار مدار نمونهبردار و ارتباطدهنده با رایانه.  |
| ..... ۲۱ | شکل ۲-۴: مدار کنترل شارژ باتری همراه با راهانداز.   |
| ..... ۲۲ | شکل ۲-۵: شکل موج جریان در حالت شارژ بازتابی.  |
| ..... ۲۵ | شکل ۲-۶: مدار کنترل ولتاژ یا ضربکننده ولتاژ امیتر.  |
| ..... ۳۰ | شکل ۳-۱: ساختار شبکه عصبی باتابع پایه شعاعی.  |
| ..... ۳۵ | شکل ۴-۱: نمایش گردش سیگنال (signal-flow graph) سیستم خطی دینامیکی گسته‌زمان.  |
| ..... ۴۰ | شکل ۴-۲: داده‌های تجربی ذخیره شده در یک دوره شارژ باتری لیتیوم-یون. شکل موج ولتاژ (اولی از بالا)، شکل موج جریان (دومی)، دما (سومی)، حالت شارژ باتری (چهارمی).   |
| ..... ۴۱ | شکل ۴-۳: داده‌های مربوط به ۵۰۰ ثانیه اول شکل ۲-۴.   |
| ..... ۴۱ | شکل ۴-۴: داده‌های مربوط به ۵۰۰ ثانیه انتها ای شکل ۲-۴ (از ثانیه ۱۴۰۰۰ تا ثانیه ۱۴۵۰۰).  |
| ..... ۴۲ | شکل ۴-۵: منحنی آموزش برای ۳۵۰۰ داده مربوط به شکل ۲-۴.   |
| ..... ۴۳ | شکل ۴-۶: نتایج حاصل از تخمين حالت شارژ باتری به صورت قطع-خط با استفاده از فیلتر کالمن توسعه یافته (نمودار پایین)، حالت شارژ واقعی از روش شمارش آمپرساعت (نمودار بالا)، برای داده‌های شکل ۲-۴.                                       |
| ..... ۴۵ | شکل ۴-۷: خروجی تخمینگر حالت شارژ (خط توپر) با اعمال فیلتر پایین گذار و حالت شارژ واقعی باتری (خط چین)، برای همان داده‌های شکل ۴-۲.  |
| ..... ۴۶ | شکل ۴-۸: تخمين حالت شارژ باتری در فرآیند شارژ با جریان متناوب دارای چرخه-وظیفه برابر ۰.۵۰٪.   |
| ..... ۴۶ | شکل ۴-۹: داده‌های ذخیره شده در فرآیند شارژ با جریان متناوب دارای چرخه-وظیفه برابر ۰.۵۰٪.  |
| ..... ۵۰ | شکل ۵-۱: توابع عضویت متغیر ورودی حالت شارژ باتری.   |
| ..... ۵۰ | شکل ۵-۲: توابع عضویت متغیر خروجی چرخه-وظیفه.  |
| ..... ۵۲ | شکل ۵-۳: ساختار کنترلکننده به همراه تخمینگر حالت شارژ باتری.  |
| ..... ۵۳ | شکل ۵-۴: سیگنال کنترل (چرخه-وظیفه سیگنال جریان شارژ) یا خروجی کنترلکننده فازی (نمودار پایین)، حالت شارژ باتری (نمودار بالا)-روشن شمارش آمپرساعت (خط چین)، تخمینگر کالمن (خط پیوسته).  |
| ..... ۵۴ | شکل ۵-۵: ۳۰۰ ثانیه از ابتدای فرآیند شارژ مربوط به شکل ۵-۴.  |
| ..... ۵۴ | شکل ۵-۶: ۳۰۰ ثانیه از نقاط میانی فرآیند شارژ مربوط به شکل ۵-۴.  |
| ..... ۵۵ | شکل ۵-۷: ۳۰۰ ثانیه از انتهای فرآیند شارژ مربوط به شکل ۵-۴.  |
| ..... ۵۶ | شکل ۵-۸: فرآیند شارژ باتری با استفاده از کنترلکننده فازی و تخمینگر حالت شارژ. سیگنال کنترل یا چرخه-وظیفه سیگنال جریان شارژ (نمودار پایین)، حالت شارژ تخمین‌زده شده (خط پر در نمودار بالا)، حالت شارژ واقعی (خط چین در نمودار بالا). |

|         |  |
|---------|--|
| ۳۰۰-۹:  | شکل ۵-۳۰۰: ثانیه از ابتدای فرآیند شارژ مربوط به شکل ۵-۸  |
| ۳۰۰-۱۰: | شکل ۵-۳۰۰: ثانیه از اواسط فرآیند شارژ مربوط به شکل ۵-۸   |
| ۳۰۰-۱۱: | شکل ۵-۳۰۰: ثانیه از هنگامی که حالت شارژ باتری به حدود ۷۵٪ رسیده و بار ۰/۷ آمپری به مدت ۳۰ ثانیه اعمال می‌گردد.   |
| ۳۰۰-۱۲: | شکل ۵-۳۰۰: ثانیه از هنگامی که بار ۰/۱ آمپری به باتری اعمال می‌شود.   |
| ۳۰۰-۱۳: | شکل ۵-۳۰۰: ثانیه از انتهای فرآیند شارژ و اعمال پیوسته بار ۰/۱ آمپری به باتری.  |
| ۳۰۰-۱۴: | شکل ۵-۳۰۰: آزمایش کترول و تخمینگر حالت شارژ با شرایط اولیه متفاوت.   |
| ۳۰۰-۱۵: | شکل ۵-۳۰۰: ثانیه آغازین فرآیند شارژ مربوط به شکل ۵-۱۴.   |
| ۳۰۰-۱۶: | شکل ۵-۳۰۰: ثانیه پایانی فرآیند شارژ مربوط به شکل ۵-۱۴.   |
| ۳۰۰-۱۷: | شکل ۵-۳۰۰: توابع عضویت متغیر ورودی حالت شارژ باتری   |
| ۳۰۰-۱۸: | شکل ۵-۳۰۰: توابع عضویت متغیر خروجی چرخه-وظیفه  |
| ۳۰۰-۱۹: | شکل ۵-۳۰۰: فرآیند کترول و تخمین حالت شارژ باتری با کترول کننده دوم طراحی شده.  |
| ۳۰۰-۲۰: | سیگنال کترول (نمودار پایین)، حالت شارژ تخمین زده شده (خط پر در نمودار بالا)، حالت شارژ واقعی (خط‌چین در نمودار بالا).  |
| ۳۰۰-۲۱: | شکل ۵-۳۰۰: ثانیه آغازین فرآیند شارژ مربوط به شکل ۵-۱۹.   |
| ۳۰۰-۲۲: | شکل ۵-۳۰۰: ثانیه انتهایی فرآیند شارژ همراه با بار ۰/۳۷ آمپری مربوط به شکل ۵-۱۹.  |
| ۳۰۰-۲۳: | شکل ۵-۳۰۰: فرآیند شارژ باتری خالی با استفاده از شارژکننده معمولی.  |
| ۳۰۰-۲۴: | شکل ۵-۳۰۰: ثانیه نخست فرآیند شارژ مربوط به شکل ۵-۲۳.   |
| ۳۰۰-۲۵: | شکل ۵-۳۰۰: ثانیه پایانی فرآیند شارژ مربوط به شکل ۵-۲۳.   |
| ۳۰۰-۲۶: | شکل ۵-۳۰۰: توابع عضویت متغیر ورودی حالت شارژ باتری   |
| ۳۰۰-۲۷: | شکل ۵-۳۰۰: فرآیند شارژ باتری با استفاده از شارژکننده هوشمند طراحی شده. حالت شارژ تخمین زده شده (خط پر در نمودار بالا)، حالت شارژ واقعی (خط‌چین در نمودار بالا)، سیگنال کترول یا چرخه-وظیفه سیگنال جریان شارژ (نمودار پایین). |
| ۳۰۰-۲۸: | شکل ۵-۳۰۰: شکل موج‌های مربوط به فرآیند شارژ شکل ۵-۲۶.  |
| ۳۰۰-۲۹: | شکل ۵-۳۰۰: ثانیه آغازین از شکل موج‌های فرآیند شارژ مربوط به شکل ۵-۲۶.  |
| ۳۰۰-۳۰: | شکل ۵-۳۰۰: ثانیه پایانی از شکل موج‌های فرآیند شارژ مربوط به شکل ۵-۲۶.  |
| ۳۰۰-۳۱: | شکل ۵-۳۰۰: نمایش گردش سیگنال (signal-flow graph) سیستم غیرخطی دینامیکی گستته‌زمان.   |
| ۳۰۰-۳۲: | شکل ب-۱: مثالی از تعریف توابع عضویت برای حالت شارژ باتری.  |

## فهرست جدول‌ها

### صفحه

|  |    |
|--|----|
| جدول ۵-۱: قواعد فازی برای کنترل حالت شارژ باتری در نخستین گام..... | ۵۱ |
| جدول ۵-۲: قواعد فازی برای کنترل حالت شارژ باتری در دومین گام.....  | ۶۳ |
| جدول ۵-۳: قواعد فازی بهینه شده برای کنترل حالت شارژ .....٪۱۰۰      | ۶۹ |
| جدول الف-۱: خلاصه فیلتر کالمن.....                                 | ۸۰ |
| جدول الف-۲: خلاصه فیلتر کالمن توسعه یافته.....                     | ۸۵ |

# فصل اول

مقدمه

## ۱-۱ مقدمه:

نیاز به بهینه‌سازی مصرف سوخت در خودروها بدون وجود آوردن مشکلات جدید برای مصرف کنندگان امریست ضروری، که در عین حال باید قابلیت اطمینان بیشتری برای تأمین انرژی وسایل دیگر در خودرو را دارا باشد. بنابراین نیاز به استفاده از سیستم هیبرید در خودرو، گریزناپذیر است، که منجر به استفاده از مصرف کننده‌های الکتریکی بیشتر و قوی‌تر می‌گردد و در نتیجه انرژی الکتریکی مورد نیاز خودرو افزایش می‌یابد.

با توجه به افزایش نیاز به انرژی الکتریکی در خودرو، ساختار الکتریکی خودروها به تدریج تغییر می‌یابد. در حال حاضر سیستم‌هایی با باتری دوگانه با ولتاژهای ۱۴ ولت و ۴۲ ولت، استارت‌تر و AC ساز، سیستم شارژ از طریق جذب انرژی از ترمزاها و دشارژ هنگام تحویل انرژی به موتور و نظایر آنها، که می‌توانند به صورت مستقل از هم یا با هم در طراحی لحاظ گردند، برای ارتقاء راندمان توزیع، کنترل و ذخیره انرژی الکتریکی در خودرو، تحت مطالعه و بررسی هستند [1].

از این روی، صنایع باتری‌سازی در صدد عرضه باتری‌های نو هستند، که همگام با تغییر تدریجی ساختار الکتریکی خودروها باشد. این درحالی است که نقش باتری به عنوان یک وسیله محوری برای حفظ عملکرد مطلوب و افزایش قابلیت اطمینان خودرو، که قابل نظرارت و مدیریت نیز باشد، ارتقا یافته است [1].

از طرفی اغلب باتری‌ها نسبت به فراشارژ (overcharge) و فرودشارژ (overdischarge) شدن حساسیت دارند و موجب تخرب باتری و صدمه زدن به آن می‌گردد. علاوه بر آن در فرآیندهای شارژ سریع، مطلوب است که باتری با استفاده از روش‌های شارژ معمول که عمدهاً با استفاده از جریانهای بالا انجام می‌گیرد، در کوتاه‌ترین زمان ممکن به حالت شارژ کامل برسد در عین حال که از ورود به ناحیه فراشارژ، جلوگیری گردد [3,2].

بنابراین عملکرد مطلوب باتری به تخمین حالت شارژ (SOC) و کنترل مناسب آن بستگی دارد. لذا ضروری است که با اندازه‌گیری و تخمین آن، شرایط را برای عملکرد مناسب باتری و نیز

دستگاه‌های الکتریکی، از طریق مدیریت باتری در خودرو فراهم آورد. نظارت بر باتری سبب می‌گردد که بتوان از تمام توانایی باتری به بهترین شکل برای تأمین انرژی وسایلی که وابستگی بالایی به انرژی الکتریکی دارند استفاده کرد[3,1]. از آنجا که موضوع اصلی پایان‌نامه تخمین حالت شارژ باتری و کنترل آن در سطح مشخصی است، در ادامه به ارائه تعریفی از حالت شارژ می‌پردازیم.

## ۱-۲ مفهوم حالت شارژ

حال که ضرورت آگاهی از حالت شارژ ( $SOC^1$ ) باتری بیان گردید باید تعریف دقیقی از آن بیان نمود. در نظر نخست می‌توان گفت که حالت شارژ به‌طور ساده، درصد بار الکتریکی ذخیره شده حقیقی به کل باری است که می‌توان در باتری ذخیره نمود. فرض کنید یک باتری در اختیار داریم که از قبل دارای مقداری انرژی ( $Q(t_0)$  است و اکنون آن را با جریان شارژ (وارد به باتری)  $I_b(t)$ ، شارژ می‌کنیم. در این صورت مقدار بار تحویل داده به باتری برابر است  $Q_0 = \int_{t_0}^t \eta_I I_b(\tau) d\tau$  و از طرفی اگر باتری کاملاً خالی از انرژی باشد در نتیجه  $\eta_I$  در روابط فوق، راندمان باتری را نشان برابر کل باری است که می‌توان در باتری ذخیره نمود.  $\eta_I$  در روابط فوق، راندمان باتری در باتری می‌دهد که وابسته به جریان باتری است، زیرا در هنگام شارژ مقداری از توان الکتریکی در باتری تلف می‌شود. برای جریان شارژ  $1 \leq \eta_I$  و برای جریان دشارژ  $\eta_I = 1$  است. با استفاده از تعریف بالا، حالت شارژ با رابطه زیر تعریف می‌گردد:

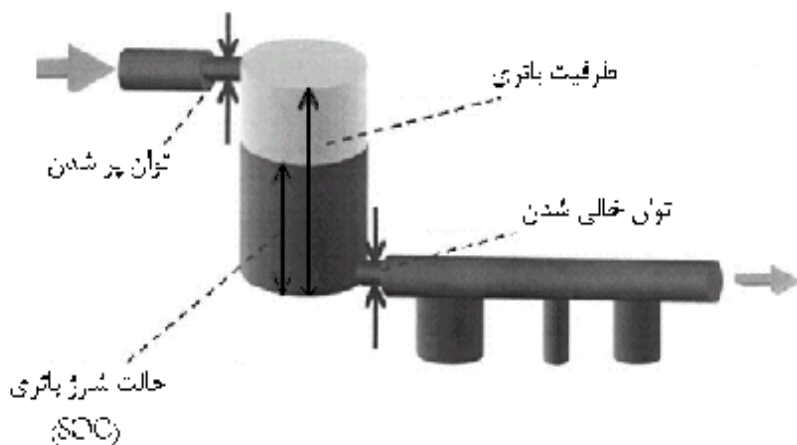
$$SOC(t) = SOC(t_0) + \frac{\int_{t_0}^t \eta_I I_b(\tau) d\tau}{Q_0} \times 100 \quad (1-1)$$

که در آن  $SOC(t_0) = Q(t_0)/Q_0$  حالت شارژ اولیه باتری،  $Q(t_0)$  بار الکتریکی در لحظه  $t_0$  و  $Q_0$  کل بار الکتریکی است که می‌توان در باتری ذخیره نمود. اما نکته قابل توجه، در دسترس نبودن

---

<sup>1</sup>State-of-Charge

حالت شارژ اولیه باتری در اغلب کاربردهایی است که به طور پیوسته از آن بهره می‌گیرند، مانند: خودروهای هیبرید. لازم به ذکر است که رابطه(۱-۱) یکی از روشهای مستقیم اندازه‌گیری حالت شارژ باتری در آزمایشگاه است که در ادامه بررسی روشهای تخمین حالت شارژ به‌طور اجمالی معرفی خواهد شد. شکل ۱-۱ تفسیر تصویری از حالت شارژ باتری را به عنوان یک تابع حالت یکنواخت، با چشم‌پوشی از اثر دما، دشارژ درونی و انتشار جریان الکتریکی، ارائه می‌دهد. همان‌گونه که در ادامه بیان می‌گردد، روشهای بسیاری برای بدست آوردن حالت شارژ باتری، چه با استفاده از حسگرهای ویژه و چه با استفاده از الگوریتمهای کلاسیک و هوشمند، بکار رفته است، که هر کدام دارای مزایا و معایبی است که به آن اشاره خواهد شد [۱,2,3,4].



شکل ۱-۱: تفسیر تصویری از ظرفیت و حالت شارژ باتری

## ۱-۳ بررسی روشهای تخمین حالت شارژ باتری

مشخص کردن حالت شارژ باتری(SOC) بر اساس پیچیدگی یا سادگی نوع باتری و کاربردی که در آن استفاده می‌گردد، می‌تواند مسئله‌ای اساسی باشد. در زیر به بررسی اجمالی روشهای بکار رفته برای تخمین حالت شارژ باتری‌ها می‌پردازیم.

### ۱-۳-۱ اندازه‌گیری حالت شارژ از طریق ویژگیهای فیزیکی الکتروولیت

در اغلب باتری‌های دارای الکتروولیت مایع، مانند: انواع سربی- اسیدی، الکتروولیت در بیشتر

واکنشهای هنگام شارژ و دشارژ شرکت می‌کند. وابستگی خطی (بیشتر در مورد انواع سربی-اسیدی) که بین تغییر چگالی اسید و حالت شارژ باقی وجود دارد، برای تعیین حالت شارژ باقی بکار می‌رود. این روش تنها برای باتریهای دارای الکتروولیت مایع کاربرد دارد و برای اندازه‌گیری چگالی اسید، با استفاده از حسگرهای ویژه، قابل انجام است.

مشکلات ناشی از این روش اندازه‌گیری، مربوط به لایه شدن اسید، کاهش آب اسید، و همچنین عمر و توانایی سنسور مورد استفاده می‌باشد. دو مشکل نخست با استفاده از هم زدن الکتروولیت داخلی و نیز اضافه کردن آب مورد نیاز به صورت خودکار می‌تواند تا حدودی برطرف گردد. از طرف دیگر توجه به این نکته اهمیت دارد که اندازه‌گیری خواص فیزیکی اسید، درون سوراخ و منفذ الکترودها، که محل مصرف و تولید اسید است قابل انجام نیست. بنابراین در فرآیندهایی که جریان بالا وجود دارد، انتشار الکتروولیت به صورت آرام به عنوان یک عامل تولید خطا در این روش عمل می‌نماید [4].

## ۲-۳-۱ ولتاژ مدار باز

مشابه آنچه که در مورد اندازه‌گیری چگالی اسید در بخش قبل گفته شد، ولتاژ مدار باز باقی به صورت مستقیم با حالت شارژ آن بستگی دارد. در کاربردهایی که عموماً دوره‌های طولانی از استراحت، یعنی عدم شارژ و دشارژ باقی وجود دارد، روش ذکر شده پیشنهاد می‌گردد. در این صورت اندازه‌گیری ولتاژ مدار باز بیشتر برای تنظیم کردن روشهای دیگر تخمین حالت شارژ بکار می‌رود.

تفاوت بین ولتاژ مدار باز باقی هنگامی که به‌طور کامل شارژ باشد، با هنگامی که فراشاژ شده باشد، ناچیز است و درنتیجه در هنگام فراشاژ، آزمون دچار خطا می‌گردد. همچنین باقیهایی وجود دارند که ساعتهاي زیادی طول می‌کشد به حالت ماندگار خود برسند، تا برای انجام آزمون ولتاژ مدار باز آماده شوند. این ویژگی می‌تواند باعث مشکلاتی گردد. علاوه بر آن، در اغلب کاربردها مقداری جریان به‌طور دائم برای دیگر وسائل الکتریکی مورد استفاده لازم

است، که در این صورت آزمایش ولتاژ مدار باز برای تخمین حالت شارژ کارا نمی‌باشد.

وابستگی خطی حالت شارژ با ولتاژ مدار باز به صورت رابطه زیر نشان داده می‌شود:

$$S(t) = \frac{V_{oc}(t) - a_0}{a_1} \quad (2-1)$$

که در آن  $S(t)$  نشان دهنده حالت شارژ باتری بر حسب درصد است،  $a_0$  ولتاژ پایانه باتری هنگامی که در آن  $S(t) = 0\%$  است و  $a_1$  با استفاده از  $a_0$  و اندازه گیری ولتاژ مدار باز در  $100\% = S(t)$  از معادله (2-1) قابل محاسبه است. از رابطه (2-2) برای محاسبه حالت شارژ با استفاده از تخمین ولتاژ مدار باز باتری با مدل تونن یا نورتن، در روش‌های کلاسیک تخمین مانند: فیلتر کالمون استفاده می‌شود، که در قسمتهای بعد به این روش می‌پردازیم [4].

### ۱-۳-۳ شمارش آمپر ساعت

این روش یکی از معمولی‌ترین روش‌ها برای محاسبه حالت شارژ است. از آنجا که شارژ و دشارژ بطور مستقیم به جریان باتری بستگی دارند، استفاده از جریان شارژ یا دشارژ برای اندازه گیری حالت شارژ باتری ایده‌ای معقول است. اگر از قبل بدانیم که چه مقدار انرژی در باتری وجود دارد، با استفاده از رابطه (1-1) که در زیر تکرار می‌گردد، به طور مستقیم حالت شارژ را می‌توان بدست آورد:

$$SOC(t) = SOC(t_0) + \frac{\int_{t_0}^t \eta_I I_b(\tau) d\tau}{Q_0} \times 100 \quad (3-1)$$

که در آن  $Q_0$  ظرفیت نامی،  $I_b$  جریان باتری و  $\eta_I$  راندمان باتری است. همانگونه که مشخص است، روش ذکر شده دارای دو مشکل اساسی است، نخست آنکه اندازه گیری نادرست جریان می‌تواند به خطای زیادی منجر گردد، در عین حال که اندازه گیری جریان دقیق گران تمام می‌شود. دوم اینکه تمام جریانی که باتری را تغذیه می‌کند برای شارژ مصرف نمی‌گردد، در نتیجه تلفات باید محاسبه گردد. مشکل نخست، با استفاده از صرف هزینه برای تهیه تجهیزات اندازه گیری دقیق جریان قابل رفع است و برای برطرف کردن مشکل دوم، یکی از ساده‌ترین روش‌ها برای محاسبه

جريان تلفاتی، به کاربردن ضربی ثابت از جریان شارژ باتری در هر شارژ است. به این معنی که تلفات را به صورت ثابت که با ضریب مناسبی با جریان شارژ رابطه مستقیم دارد، در نظر بگیریم. شمارش آمپرساعت یکی از معمولی ترین روش‌های اندازه‌گیری حالت شارژ است، که برای بیشتر سیستمها و کاربردها بکار می‌رود. اما روش ذکر شده مادامی که اندازه‌گیری جریان به صورت دقیق انجام شود، روشی آسان و قابل اطمینان برای اندازه‌گیری حالت شارژ است. برای مثال در خودروهای الکتریکی خالص روش به کار رفته اگر طوری باشد که باز شارژهای کامل به صورت منظم و تحت شرایط کنترل شده انجام گیرد، دارای مزیت است. در این زمینه کاربرد روش ارائه شده دارای محدودیت است، زیرا همیشه مقدار شارژ اولیه باتری در دسترس نیست، اما از طرفی این روش قابل اعمال به تمام سیستمها باتری که در خودروهای الکتریکی خالص به کار می‌رود، مانند باتری‌های سربی-اسیدی، نیکل کادمیوم، نیکل-متال-هیدرید و باتری‌های لیتیومی است [4].

#### ۱-۳-۴ تخمین با استفاده از منطق فازی

تحقیقات زیادی بر روی طیف امپدانسی باتری انجام گرفته است. این روش، تکنیکی عمومی برای اندازه‌گیری و بررسی فرآیندهای الکتروشیمیایی است و تا کنون بر روی تمام انواع باتری، نه تنها برای تخمین حالت شارژ، بلکه برای تعیین حالت سلامتی باتری ( $\text{SOH}^2$ ) نیز، به کار رفته است [5,4]

همانگونه که از تحقیقات تجربی بدست آمده است، امپدانس باتری در فرکانس‌های مختلف موج تحریک سینوسی و همچنین بسته به مقدار حالت شارژ باتری، متفاوت است [6]. اما از آنجاکه بدست آوردن رابطه‌ای ریاضی، برای مشخص کردن حالت شارژ (SOC) از روی ویژگی‌های بدست آمده از طیف‌نمایی امپدانس کاری پیچیده است، بنابراین از منطق فازی برای ایجاد چنین رابطه‌ای استفاده می‌گردد. دو روش برای بهینه‌سازی مدل فازی وجود دارد، که عبارتند از: روش

<sup>2</sup> State-of-Health

یادگیری تحت نظارت و یادگیری آزاد. به این معنی که با تنظیم کردن توابع عضویت ورودی و خروجی، مدل سیستم فازی بهینه می‌گردد. در حالت یادگیری تحت نظارت، می‌توان با استفاده از پسخورخبره (Expertfeedback) یا شبکه عصبی، مانند الگوریتم پس انتشار، مدل فازی را بهینه کرد. ولی در حالت یادگیری آزاد، برای دسته‌بندی کردن فضای ورودی و خروجی که از آن، توابع عضویت و قواعد اولیه قابل استخراج باشد، می‌توان از الگوریتم‌هایی چون خوش‌سازی بهره گرفت [7,5].

با وجود آنکه تحقیقات گسترده‌ای در این روش انجام گرفته است، طیف‌نمای امپدانس به ندرت در عمل برای اندازه‌گیری حالت شارژ بکار می‌رود. طبق تحقیقات انجام شده، مشخص شده‌است که طیف‌نمای امپدانس حساسیت بسیار زیادی به دما دارد به‌طوری‌که تنها در فرکانس‌های بسیار بالا قابل استفاده است [3].

### ۱-۳-۵ شبکه‌های عصبی مصنوعی

از آنجا که شبکه‌های عصبی بین داده‌های ورودی و خروجی هر سیستمی، رابطه‌ای مشخص ایجاد می‌کنند، بنابراین برای هر نوع باتری و هر نوع سیستمی می‌توانند به کار روند. در بعضی روشها برای تخمین حالت شارژ باتری با استفاده از شبکه‌های عصبی، شبکه قبل از استفاده، آموزش داده می‌شود. در صورتی‌که در بعضی روشها دیگر، شبکه به صورت وفقی و در حین کار باتری آموزش می‌بیند. در روش آخر استفاده از دیگر روشها تخمین، برای تولید داده‌های آموزشی ضروری است. خطای بوجود آمده در تخمین به نحو چشمگیری به داده‌های آموزشی و روش آموزشی مربوط است [12,11,10,9,8].

### ۱-۳-۶ تخمین با استفاده از فیلتر کالمن

فیلتر کالمن یکی از الگوریتم‌های موفق تخمین است که براساس مدل گستته فضای حالت سیستم‌های دینامیکی، به صورت وفقی و با محاسبات برگشتی، قادر است حالت‌های درونی سیستم را

که به صورت مستقیم قابل اندازه‌گیری نمی‌باشد، تخمین بزند. از این‌روی در بسیاری از تحقیقات، که بر روی تخمین حالت شارژ باتری‌ها انجام شده است، از الگوریتم فیلتر کالمن بهره جسته‌اند [13, 14, 15, 16, 17].

در برخی از کارهای انجام شده، از این تخمینگر برای تخمین ولتاژ مدارباز باتری یا برخی پارامترهای داخلی باتری که دارای رابطه‌ای مستقیم با حالت شارژ باتری هستند، استفاده شده است [13, 14]. اما در برخی دیگر با استفاده از حالت شارژ به عنوان یکی از متغیرهای حالت مدل باتری، حالت شارژ به طور مستقیم، با استفاده از فیلتر کالمن توسعه یافته، تخمین زده می‌شود [3, 15, 16, 17]. یکی از مزایای فیلتر کالمن، قابلیت اعمال آن به هر نوع باتری است و از معایش، حجم بالای محاسباتی و همچنین طراحی مدلی خوب برای باتری استفاده شده، می‌باشد.

## ۱-۴ کنترل حالت شارژ

همان‌گونه که در مقدمه این فصل ذکر گردید، به دلیل ویژگی‌های خاص در خودروهای الکتریکی هیبرید، نیاز به باتری‌های جدید و کارآتر، چه در ذخیره‌سازی و چه در تولید توان الکتریکی مورد نیاز، ضروری است. لذا باتری‌های پیشرفته‌ای نظیر باتری‌های لیتیوم-یون، لیتیوم-پلیمر، نیکل-متال‌هیدرید و همچنین باتری‌های سربی-اسیدی پیشرفته برای کاربرد در خودروهای هیبرید در نظر گرفته می‌شوند [18]. از طرفی باتری‌های ذکر شده حساسیت بیشتری به عملکرد نادرست در مقایسه با باتری‌های معمولی دارند، بنابراین به سیستم کنترلی نیاز است که عملکرد باتری در خودروهای هیبرید را کنترل کند [19]. در روش‌های سنتی کارکرد باتری‌ها، تنها از حدود مشخص برای ولتاژ پایانه‌های باتری جهت حفاظت آن از اضافه شارژ و اضافه دشارژ آن استفاده می‌شود که روشی ناکارآمد است و باعث تخریب و کاهش عمر باتری می‌گردد [3, 18].

در [20] از یک کنترل‌کننده فازی، با استفاده از دو مد دریافت و شارژ، برای کنترل حالت شارژ باتری استفاده شده است. در مد دریافت، که دارای بازه زمانی بسیار کوچکتری نسبت به مد شارژ است، ولتاژ مدارباز و همچنین جریان شارژ اندازه‌گیری می‌شود و با استفاده از داده‌های به دست

آمده، کنترل‌کننده فازی به کنترل حالت شارژ در مد شارژ می‌پردازد. روش ارائه شده به دلیل قطع کردن بار در مد دریافت، نیاز به سوئیچ‌های اضافی و بیشتر شدن هزینه دارد و همچنین برای کاربرد در خودروهای هیبرید که علاوه بر افزایش هزینه، قطع بار می‌تواند موجب صدمه به مصرف‌کننده‌های الکتریکی باشد، مناسب به نظر نمی‌آید.

در مرجع [21] از سیستم کنترلی برای کنترل یک ماژول هیجده تایی مت Shankل از دو شارژکننده، استفاده شده است که شارژکننده اصلی برای شارژ کردن کل ماژول به کار می‌رود، در صورتیکه شارژرکننده کمکی برای متوازن کردن حالت شارژ هر کدام از سول‌ها استفاده می‌گردد. در مرجع ذکر شده برای کنترل از روش شارژ جریان ثابت و برای تخمین حالت شارژ از روش شمارش آپرساعت بهره گرفته شده است.

## ۱-۵ روش پیشنهادی برای پیاده‌سازی

از آنجا که تخمین حالت شارژ باتری در خودروهای هیبرید از مهمترین متغیرها، برای کنترل بهینه مصرف سوخت است، و از طرفی برای تامین گشتاور مورد نیاز خودرو و وسایل الکتریکی دیگر و همچنین افزایش کارایی باتری، لازم است که حالت شارژ باتری همواره در محدوده مشخصی قرار گیرد، بنابراین در این پایان‌نامه طراحی و پیاده‌سازی تخمینگر و کنترل‌کننده حالت شارژ از اهداف اصلی می‌باشد. در این پایان‌نامه از باتری لیتیوم-یون با ظرفیت نامی  $1,5\text{Ah}$  و ولتاژ نامی  $3,7\text{V}$  استفاده شده است و تمام نتایج عملی ارائه شده مربوط به این نوع باتری می‌باشد.

در فصل ۲ ابتدا ملاحظات عملی و نحوه پیاده‌سازی سخت‌افزاری و نرم‌افزاری مورد بررسی قرار می‌گیرد. برای طراحی تخمینگر حالت شارژ باتری، ابتدا در فصل ۳ مدل فضای حالت باتری را که حالت شارژ یکی از متغیرهای حالت است، با استفاده از آموزش شبکه عصبی پایه شعاعی (RBF<sup>3</sup>)، به دست آورده خواهد شد. سپس، در فصل ۴ با استفاده از الگوریتم فیلتر کالمن توسعه یافته و مدل آموزش دیده شبکه عصبی، حالت شارژ باتری به صورت وصل-خط با دقت خوب،

<sup>3</sup> Radial-Basis Function